

Plenarübung LA II

(Inhalts)-Wochen 09



Link zu diesen Folien

Organisatorisches zum Semesterende

		Samstag, 22. Juni 2024						
		Sonntag, 23. Juni 2024						
KW 26	SW 11	Montag, 24. Juni 2024			Wechsel 10/11	10		
		Dienstag, 25. Juni 2024		11				
		Mittwoch, 26. Juni 2024	11					11
		Donnerstag, 27. Juni 2024			11			11
		Freitag, 28. Juni 2024						11
		Sonntag, 30. Juni 2024						
KW 27	SW 12	Montag, 1. Juli 2024			Wechsel 11/12	11		
		Dienstag, 2. Juli 2024		12				
		Mittwoch, 3. Juli 2024	12					12
		Donnerstag, 4. Juli 2024			12			12
		Freitag, 5. Juli 2024					12	12
		Samstag, 6. Juli 2024						
		Sonntag, 7. Juli 2024						
KW 28	SW 13	Montag, 8. Juli 2024			Wechsel 12/13			
		Dienstag, 9. Juli 2024		13				
		Mittwoch, 10. Juli 2024	13					13
		Donnerstag, 11. Juli 2024			13			13
		Freitag, 12. Juli 2024						13
		Samstag, 13. Juli 2024						
		Sonntag, 14. Juli 2024						
KW 29	SW 14	Montag, 15. Juli 2024				13		
		Dienstag, 16. Juli 2024		14				
		Mittwoch, 17. Juli 2024	14					14
		Donnerstag, 18. Juli 2024			14			14
		Freitag, 19. Juli 2024						14
		Samstag, 20. Juli 2024						
		Sonntag, 21. Juli 2024						
KW 30	SW 15	Montag, 22. Juli 2024						
		Dienstag, 23. Juli 2024						
		Mittwoch, 24. Juli 2024						
		Donnerstag, 25. Juli 2024						
		Freitag, 26. Juli 2024						
		Samstag, 27. Juli 2024	Beginn vorlesungsfreie Zeit					
		Sonntag, 28. Juli 2024						

16-18

Keine Abgabe

Kein Blatt 14

Hier
Projektbesuch



Die Umfrageergebnisse

Zusammenfassung für G01Q02		
Was soll in der Plenarübung vorrangig behandelt werden?		
Antwort	Anzahl	Brutto-Prozentsatz
Wiederholung von Skriptinhalten Ansehen	6	27.27%
Erklärungen zu Skriptbeispielen Ansehen	1	4.55%
Lösungen der Hausaufgaben Ansehen	0	0.00%
Nicht beendet oder nicht gezeigt	14	63.64%
Gesamt(Brutto)	21	100.00%

Zusammenfassung für G01Q01		
Welche Anmerkungen oder Fragen haben Sie zur Veranstaltung oder ihren Inhalten?		
Antwort	Anzahl	Brutto-Prozentsatz
Antwort Ansehen	5	22.73%
Keine Antwort	3	13.64%
Nicht beendet oder nicht gezeigt	14	63.64%
Gesamt(Brutto)	22	100.00%

Interesse an:

- (1) Lokalen Minimalpolynomen / maximalen Vektoren
- (2) Lemma 29.7 (A -invariante komplementäre Unterräume)
- (3) Algorithmischer Bestimmung der Frobenius-Normalform (FNF)
- (4) Visualisierung von Normalformen

Das heutige Programm

- (1) Wochenüberblick
- (2) Wiederholung und Beispiele zu lokal annullierenden Polynomen und maximalen Vektoren
- (3) Zusammenhang Begleitmatrizen und zyklische Vektoren
- (4) Erinnerung: Normalformen
- (5) Wiederholung Frobenius-Normalform (FNF)
- (6) Vor- und Nachteile FNF
- (7) FNF in Spezialfällen mit „Struktur“
- (8) Wiederholung Fundament der FNF - Lemmata 29.6 und 29.7
- (9) Algorithmische Bestimmung der FNF

Wochenüberblick

$f \in \mathbb{E}_n(V), ASK^{n \times n}$

Charakter. Polynom
 $\chi_A(\lambda)$

Eigenwerte, Eigenräume
 $\lambda, E_\lambda(f, A)$

Diagonalform
(nicht immer möglich);

↙ Cayley
Hamilton

Annulierende Polynome

↘ Ideal erzeugt durch

Minimalpolynom μ_A, μ_f

↘ dividieren

lokale Minimalpolynome μ_{A_i}, μ_{f_i}
Maximale Vielfachen

Maximale "Krylov-Lösungen"
 $\langle x, Ax, A^2x, \dots, A^{k-1}x \rangle$

↘ dargestellt durch

Besetzungsvektoren

↘ sind diagonal
↘ Blocke von

Frobeniusnormalform

Lokales Minimalpolynom

Definition 29.2

Es sei K ein Körper. Es sei $A \in K^{n \times n}$ für $n \in \mathbb{N}_0$ und $x \in K^n$.

Das eindeutig bestimmte normierte Polynom $\mu_{A,x} \neq 0$ geringsten Grades mit der Eigenschaft $\mu_{A,x} \in J_{A,x}$ heißt das **(lokale)**

Minimalpolynom von A bzgl. x . \uparrow

$$\{p \in K[x] \mid p(A)x = 0\}$$

$\underbrace{\hspace{10em}}_{\text{Null}}$

$$\mu(A) = 0 \Leftrightarrow \mu(A)x = 0 \quad \forall x \in K^n$$

$$p(A) \neq 0, \deg(p) < \deg(\mu) \Rightarrow \exists x : p(A)x \neq 0.$$

Wenn μ minimal ist, dann ex. für alle bl. niedrigeren Grades ein x mit $p(A)x \neq 0$
 \Rightarrow Nullvektor

Lokale Minimalpolynome und maximale Vektoren 1

Gegeben sei $A :=$

$$\begin{bmatrix} 0 & 1 & 0 & \dots & 0 \\ & & & & \\ & & & & \\ & & & & \\ 0 & & & & 0 \end{bmatrix} \in K^{n \times n}.$$

Nilpotent

$$\chi_A = t^n, \mu_A = t^n$$

$$\text{da } A^2 e_e = e_{e-n}$$

$\in K^{n \times n}$.

$$\mu_{A, e_i} \quad i=1, \dots, n$$

Was sind die lokalen Minimalpolynome bzgl. der Elemente der kanonischen Basis? Wie sieht die Menge der maximalen Vektoren aus?

Im Allgemeinen untersucht man $\text{Kern}(e_i, A e_i, A^2 e_i, \dots)$. Hier ist aber leicht zu sehen $\mu_{A, e_1} = t, \mu_{A, e_2} = t^2, \dots, \mu_{A, e_n} = t^n \leftarrow e_n \text{ ein maximaler Vektor}$

$= \mu_A$

$$\text{Gruener ist: } \{x \in K^n \mid x \text{ ist maximal}\} = \left\{ \sum_{i=1}^n \alpha_i e_i \mid \alpha_n \neq 0, \alpha_i \in K \right\}$$

$$\text{Dann } A^{n-1} \left(\sum_{i=1}^{n-1} \alpha_i e_i \right) = 0 \quad (e_1, \dots, e_{n-1} \text{ sind nicht maximal linear kombinierbar)}$$

$$\text{und } \left(\sum_{j=0}^{n-1} a_j A^j \right) \left(\sum_{i=1}^n \alpha_i e_i \right) = \sum_{k=0}^{n-1} \left(\sum_{i=0}^{\min(n-k, n-1)} \alpha_{i+k} a_i \right) e_{n-k} \quad \text{also } \alpha_n a_0 + (\alpha_{n-1} a_0 + \alpha_n a_1) e_{n-1} = 0 \Rightarrow a_j = 0 \text{ f\"ur } j < n$$

Lokale Minimalpolynome und maximale Vektoren 2

Behauptung:

Es sei K ein Körper, $n \in \mathbb{N}$ und $A \in K^{n \times n}$. Dann beinhaltet jede Basis einen maximalen Vektor bzgl. A . **Falsch!**

z. B. $A = \begin{bmatrix} 1 & & & & \\ & 2 & & & \\ & & 3 & & \\ & & & 4 & \\ & & & & 5 \end{bmatrix} \rightarrow \chi_A = \prod_{i=1}^5 (t-i), M_A = \chi_A$
 e_1, \dots, e_5 sind hier EV, also

$$M_{A, e_i} = (t-i) \quad i=1 \dots 5$$

Der Vektor $e_1 + \dots + e_5$ ist ein maximaler Vektor.

Das Auffinden maximaler Vektoren ist nicht trivial, auch wenn das hier gut geht. Auch die Frage, wie sich lokale Minimalpolynome

von Linear kombinationen verhalten nicht.

\Rightarrow Mehr überu später

Begleitmatrizen und zyklische Vektoren

Lemma (Hausaufgabe II-9.4)

Es sei $n \in \mathbb{N}$, K ein Körper und $A \in K^{n \times n}$. Dann sind äquivalent:

- (1) $\mu_A = \chi_A$ (1) \Leftrightarrow (2) Fun fact (2) \Leftrightarrow (3) wichtig!
- (2) A ist ähnlich zu $C_{\chi_A} \leftarrow \begin{pmatrix} 1 & & & \\ & \ddots & & \\ & & \ddots & \\ & & & \chi \end{pmatrix}$
- (3) Es gibt einen Vektor $x \in K^n$ mit $\langle x, Ax, A^2x, \dots, A^{n-1}x \rangle = K^n$

(1) \Rightarrow (2) FNF (2) \Rightarrow (1) Ähnlichkeitstransformation von χ, μ und $\chi_{cp} = \mu_{cp} = \rho$.

$$(2) \Rightarrow (3) \quad A = \begin{pmatrix} | & | & & | \\ v_1 & v_2 & \dots & v_n \\ | & | & & | \end{pmatrix} C_{\chi_A} \begin{pmatrix} | & | & & | \\ v_1 & v_2 & \dots & v_n \\ | & | & & | \end{pmatrix}^{-1}$$

$$\Rightarrow \quad A v_i = \begin{pmatrix} | & | & & | \\ v_1 & v_2 & \dots & v_n \\ | & | & & | \end{pmatrix} \begin{pmatrix} 0 & & & \\ 1 & 0 & & \\ & 1 & 0 & \\ & & \ddots & \chi \end{pmatrix} e_i = \begin{pmatrix} | & | & & | \\ v_1 & v_2 & \dots & v_n \\ | & | & & | \end{pmatrix} e_2 = v_2$$

$$A^k v_i = v_{i+k} \Rightarrow x = v_1$$

(3) \Rightarrow (2) $\langle x, Ax, \dots, A^{n-1}x \rangle$ ist Basis, Darstellungsmatrix ist gerade die Begleitmatrix.

Storyline Normalformen (Wiederholung)

Für n -dimensionale VR V kann $f \in \text{End}(V)$ durch Basiswahl durch $A \in K^{n \times n}$ dargestellt werden.

Alle Darstellungsmatrizen sind ähnlich, Ähnlichkeitstransformationen entsprechen Basiswechseln.

Basiswahl/-wechsel beeinflusst die Struktur der Darstellungsmatrix.

Wir wünschen uns Blockdiagonalstruktur der Darstellungsmatrix.

Der Bestfall (Diagonalform) ist nicht immer erreichbar.

Frage: Gibt es Blockdiagonalformen, die immer erreichbar sein?

Ja, die Frobeniusnormalform

Frobenius-Normalform (FNF) (Wiederholung)

Definition Frobenius-Normalform

Es sei K ein Körper und $A \in K^{n \times n}$ für $n \in \mathbb{N}_0$. Die zu A ähnliche, eindeutige Blockdiagonalmatrix

$$\begin{bmatrix} C_{p_1} & & & \\ & C_{p_2} & & \\ & & \ddots & \\ & & & C_{p_k} \end{bmatrix} \quad \begin{array}{l} \leftarrow P_i = \mu_A \\ \tilde{\chi} = \frac{\chi}{P_1} = \prod_{j=2}^k P_j \\ \text{da } \chi = \prod_{j=1}^k P_j \text{ (blockweise)} \end{array}$$

aus Begleitmatrizen C_{p_i} zu normierten, nicht-konstanten Polynomen p_1, \dots, p_k , $k \in \mathbb{N}$ mit $p_1 = \mu_A$ und $p_{j+1} \mid p_j$ für $j = 1, \dots, k-1$. heißt die **Frobenius-Normalform**.

Folgt weil Polynome
blockweise wirken

P_j sind die Minimalpolynome der
"Restblöcke"

Erkennen einiger FNF (Warmup)

Welche der folgenden Matrizen sind in Frobenius-Normalform?

Alle haben gemeinsam: Es sind Begleitblockdiagonalmatrizen ✓ $P_1 = t^3 - 6t^2 + 11t - 6 = (t-1)(t-2)(t-3)$

$$\begin{array}{c|ccc|ccc} 0 & 0 & 6 & 0 & 0 & 0 \\ 1 & 0 & -11 & 0 & 0 & 0 \\ 0 & 1 & 6 & 0 & 0 & 0 \\ \hline 0 & 0 & 0 & 1 & 0 & 0 \\ 0 & 0 & 0 & 0 & 0 & -2 \\ 0 & 0 & 0 & 0 & 1 & 3 \end{array}$$

äquivalent

$$\begin{array}{c|ccc|ccc} 0 & 0 & 6 & 0 & 0 & 0 \\ 1 & 0 & -11 & 0 & 0 & 0 \\ 0 & 1 & 6 & 0 & 0 & 0 \\ \hline 0 & 0 & 0 & 0 & -2 & 0 \\ 0 & 0 & 0 & 1 & 3 & 0 \\ 0 & 0 & 0 & 0 & 0 & 1 \end{array}$$

$P_2 = t^2 - 3t - 2 = (t-1)(t-2)$

$(t-1) = P_3$
3er ✓ wegen Teilbarkeit

Auflösung im Polynomring

$$\begin{array}{c|ccc|ccc} 0 & 0 & 6 & 0 & 0 & 0 \\ 1 & 0 & -11 & 0 & 0 & 0 \\ 0 & 1 & 6 & 0 & 0 & 0 \\ \hline 0 & 0 & 0 & 3 & 0 & 0 \\ 0 & 0 & 0 & 0 & 2 & 0 \\ 0 & 0 & 0 & 0 & 0 & -1 \end{array}$$

Diese Zeilen bilden nicht gegen.

$$\begin{array}{c|ccc|ccc} 0 & 0 & 6 & 0 & 0 & 0 \\ 1 & 0 & -11 & 0 & 0 & 0 \\ 0 & 1 & 6 & 0 & 0 & 0 \\ \hline 0 & 0 & 0 & 0 & -2 & 0 \\ 0 & 0 & 0 & 1 & 3 & 0 \\ 0 & 0 & 0 & 0 & 0 & 3 \end{array}$$

← Nicht!

$t-3$ fehlt
 $(t-1)(t-2)$ usw.!

Nicht →

Nicht →

Pros / Cons der FNF

Pros

- Eindeutige Existenz für jeden Endomorphismus
- Erlaubt Ähnlichkeitstest
- Minimalpolynom direkt ablesbar
- Genauer: Alle Invariantenteiler ablesbar, daher charakteristisches Polynom leicht berechenbar

Cons

- Kann nur aus einem Block bestehen
- Stimmt i. A. nicht mit der Diagonalform überein
- Berechnung per Hand kann aufwändig werden (algorithmisch kein Problem)

Strukturausnutzende Beispiele für Frobenius-Normalformen

Was sind die Frobenius-Normalformen folgender Matrizen aus $\mathbb{R}^{4 \times 4}$?

$$\chi = (t-1)^3(t-2)$$

$$\mu = (t-1)^2(t-2)$$

$$\begin{bmatrix} 1 & 0 & 0 & 0 \\ 0 & 1 & 1 & 0 \\ 0 & 0 & 1 & 0 \\ 0 & 0 & 0 & 2 \end{bmatrix}$$

↓

$$\left[\begin{array}{cc|c} 0 & -2 & \\ 1 & 0 & -2 \\ 1 & 4 & \\ \hline & & 1 \end{array} \right]$$

fehlt für χ

$$\chi = (t-1)^2(t-2)^2$$

$$\mu = (t-1)(t-2)$$

$$\begin{bmatrix} 1 & 0 & 0 & 0 \\ 0 & 1 & 0 & 0 \\ 0 & 0 & 2 & 0 \\ 0 & 0 & 0 & 2 \end{bmatrix}$$

↓

$$\left[\begin{array}{cc|c} 0 & -2 & \\ 1 & 3 & \\ \hline & & 0 & -2 \\ & & 1 & 3 \end{array} \right]$$

fehlt für χ

und $(t-1)$ oder $(t-2)$ festes μ nicht

$$\chi = (t-1)^3(t-2)$$

$$\mu = (t-1)(t-2)$$

$$\begin{bmatrix} 1 & 0 & 0 & 0 \\ 0 & 1 & 0 & 0 \\ 0 & 0 & 1 & 0 \\ 0 & 0 & 0 & 2 \end{bmatrix}$$

↓

$$\left[\begin{array}{cc|c} 0 & -2 & \\ 1 & 3 & \\ \hline & & 1 & \\ & & & 1 \end{array} \right]$$

fehlt für χ

und $(t-1)^2$ fest μ nicht

$$\chi = (t-3)^3(t-2)$$

$$\mu = (t-3)^2(t-2)$$

↓

$$\begin{bmatrix} 4 & -1 & -2 & 3 \\ -1 & 5 & 2 & -4 \\ 0 & 1 & 3 & -1 \\ -1 & 2 & 2 & 1 \end{bmatrix}$$

↓

$$\left[\begin{array}{ccc|c} 0 & -2 & 1 & \\ 1 & 0 & 2 & 1 \\ 2 & 8 & & \\ \hline & & & 3 \end{array} \right]$$

fehlt für χ

und $(t-3)$ fest μ nicht

Fundament der FNF

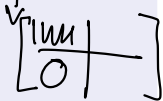
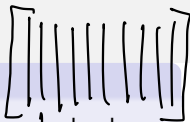
Lemma 29.6

Sei $x \in K^n$ und $\mu_{A,x} = \sum_{j=0}^{d-1} \alpha_j \lambda^j + \lambda^d$ das lokale Minimalpolynom bzgl. x .
Dann ist der Unterraum

$$U_x := \langle x, Ax, A^2x, \dots, A^{d-1}x \rangle$$

ein A-invarianter Unterraum mit der Basis

Block auf Diagonale $B_x = \langle x, Ax, A^2x, \dots, A^{d-1}x \rangle$.
 \Rightarrow Begleitmatrixstruktur



Lemma 29.7

Sei $x \in K^n$ ein **maximaler** Vektor bzgl. A mit $d := \deg(\mu_{A,x})$. Ergänzen wir die Basis B_x von U_x zu irgendeiner Basis $B = (x_1, \dots, x_d, x_{d+1}, \dots, x_n)$ von K^n und definieren die Linearform ξ durch $\xi(x_j) = \delta_{jd}$, dann ist

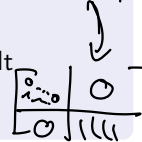
$$W := \{w \in K^n \mid \xi(A^j w) = 0 \text{ für alle } j = 0, \dots, d-1\}$$

A-invarianter Unterraum der Dimension $\dim(W) = n - d$ und erfüllt

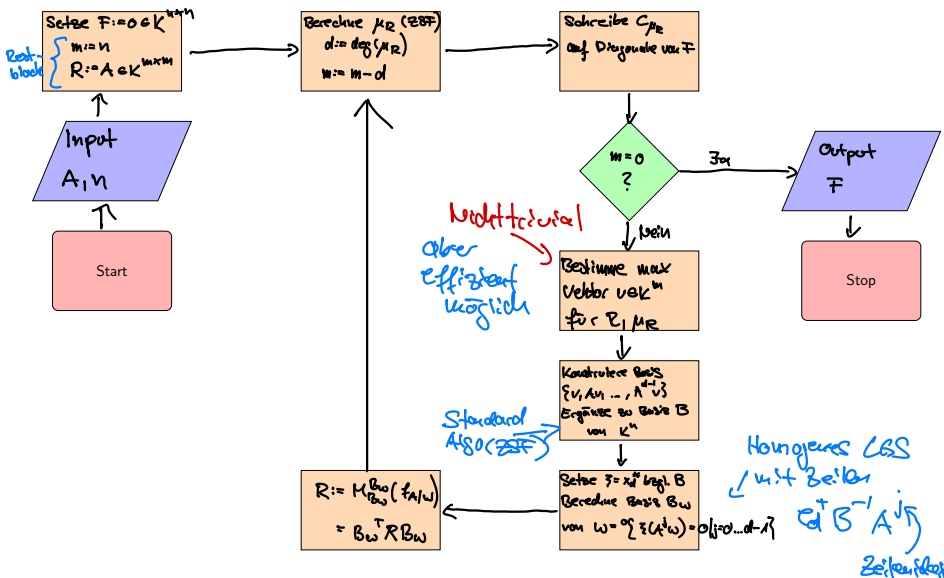
Block auf Diag.

$$K^n = U_x \oplus W. \quad U_x \text{ Block}$$

Block separieren oben



Algorithmus zur Bestimmung der FNF i. A. (Folgt direkt aus dem Existenzbeweis)



Beispiel zur algorithmischen Bestimmung einer FNF (1)

$$\mathbb{R}^{5 \times 5} \ni A = \begin{bmatrix} 1 & 0 & 0 & 0 & 0 \\ 0 & 1 & 0 & 0 & 0 \\ 0 & 0 & 2 & 0 & 0 \\ 0 & 0 & 0 & 2 & 0 \\ 0 & 0 & 0 & 0 & 2 \end{bmatrix} \text{ hat die FNF}$$

$\chi = (\lambda - 1)^2 (\lambda - 2)^3$
 $\mu = (\lambda - 1)(\lambda - 2)$

$$\begin{bmatrix} 0 & -2 & & & \\ 1 & 3 & & & \\ & & 0 & -2 & \\ & & 1 & 3 & \\ & & & & 2 \end{bmatrix}$$

Das finden wir auch algorithmisch heraus.

Schritt 1: $d=2, m=3$, Max Vektor z.B. $e_1 + e_3$ (in \mathbb{R}^m Eigenraum)

$B = (e_1 + e_3, e_1 + 2e_3)$ $\xrightarrow{\text{erg\u00e4nzen}}$ $B = (e_1 + e_3, e_1 + 2e_3, e_2, e_4, e_5)$

\uparrow \uparrow
 \checkmark AV

$$\leadsto B \hat{=} \begin{bmatrix} 1 & 1 & 0 & 0 & 0 \\ 0 & 0 & 1 & 0 & 0 \\ 1 & 2 & 0 & 0 & 0 \\ 0 & 0 & 0 & 1 & 0 \\ 0 & 0 & 0 & 0 & 1 \end{bmatrix}, \quad B^{-1} = \begin{bmatrix} 2 & 0 & -1 & 0 & 0 \\ -1 & 0 & 1 & 0 & 0 \\ 0 & 1 & 0 & 0 & 0 \\ 0 & 0 & 0 & 1 & 0 \\ 0 & 0 & 0 & 0 & 1 \end{bmatrix}, \quad e_d^T B^{-1} = (-1 \ 0 \ 1 \ 0 \ 0)$$

Beispiel zur algorithmischen Bestimmung einer FNF (2)

Finde Basis von $\begin{bmatrix} -1 & 0 & 1 & 0 & 0 \\ -1 & 0 & 2 & 0 & 0 \end{bmatrix} \begin{pmatrix} w_1 \\ \vdots \\ w_5 \end{pmatrix} = 0 \Rightarrow \begin{bmatrix} -1 & 0 & 1 & 0 & 0 \\ 0 & 0 & 1 & 0 & 0 \end{bmatrix} \begin{pmatrix} w_1 \\ \vdots \\ w_5 \end{pmatrix} = 0$

$\Rightarrow w_3 = 0, w_1 = 0 \Rightarrow B_w = \begin{bmatrix} 0 & 0 & 0 \\ 1 & 0 & 0 \\ 0 & 0 & 0 \\ 0 & 1 & 0 \\ 0 & 0 & 1 \end{bmatrix} \leadsto B_w^T A B_w = \begin{bmatrix} 0 & 1 & 0 & 0 & 0 \\ 0 & 0 & 0 & 1 & 0 \\ 0 & 0 & 0 & 0 & 1 \end{bmatrix} \begin{bmatrix} 0 & 0 & 0 \\ 1 & 0 & 0 \\ 0 & 0 & 0 \\ 0 & 2 & 0 \\ 0 & 0 & 2 \end{bmatrix}$

\leadsto Zwischenergebnis $F = \left[\begin{array}{cc|ccc} 0 & -2 & & & \\ 1 & 3 & & & \\ \hline & & 1 & 0 & 0 \\ & & 0 & 2 & 0 \\ & & 0 & 0 & 2 \end{array} \right] = \begin{bmatrix} 1 & 0 & 0 \\ 0 & 2 & 0 \\ 0 & 0 & 2 \end{bmatrix}$

Schritt 2: $\begin{pmatrix} 1 \\ 2 \end{pmatrix}, \mu = (t-1)(t-2)$, max Wert bei $(e_1 + e_2)$

$\hat{B} = (e_1 + e_2, e_1 + 2e_2), B = (e_1 + e_2, e_1 + 2e_2, e_3) \hat{=} \begin{bmatrix} 1 & 1 & 0 \\ 1 & 2 & 0 \\ 0 & 0 & 1 \end{bmatrix}$

...

$$B^{-1} = \begin{bmatrix} 2 & -1 & 0 \\ -1 & 1 & 0 \\ 0 & 0 & 1 \end{bmatrix}, \quad e_1^T B^{-1} = (-1 \ 1 \ 0)$$

$$\leadsto \begin{bmatrix} -1 & 1 & 0 \\ -1 & 1 & 0 \end{bmatrix} \begin{pmatrix} w_1 \\ w_2 \\ w_3 \end{pmatrix} = 0 \leadsto w_1 = w_2 = 0 \quad B_{\omega} = (e_3) \equiv \begin{bmatrix} 0 \\ 0 \\ 1 \end{bmatrix}$$

$$\leadsto B_{\omega}^T A B_{\omega} = 2$$

Zwischenergebnis

$$\left[\begin{array}{cc|c} 0 & -2 & \cdot \\ 1 & 3 & \cdot \\ \hline & & 0 & -2 \\ & & 1 & 3 \\ \hline & & & & 2 \end{array} \right]$$

Schritt 3 besteht nur aus Schreiben von 2.

Bestimmen maximaler Vektoren

Das Bestimmen maximaler Vektoren für $A \in K^{n \times n}$ ist keine triviale Aufgabe. Zwei Möglichkeiten sind:

- (1) Heuristisch: Man untersucht für alle Polynome

$$\{p \in K[t] \mid \deg(p) < \mu_A, p \text{ ist normiert, } p \mid \mu_A\}$$

↙ Euklidisch

den Kern($p(A)$) und sucht ein Element aus, das nicht in der Vereinigung dieser Kerne liegt.

- (2) Man verwendet einen effizienten Algorithmus aus M. Geck. „On Jacob’s construction of the rational canonical form of a matrix“. *The Electronic Journal of Linear Algebra* 36.36 (2020), S. 177–182. DOI: [10.13001/e1a.2020.5055](https://doi.org/10.13001/e1a.2020.5055), der auf dem Euklidischen Algorithmus und Basistransformationen basiert.